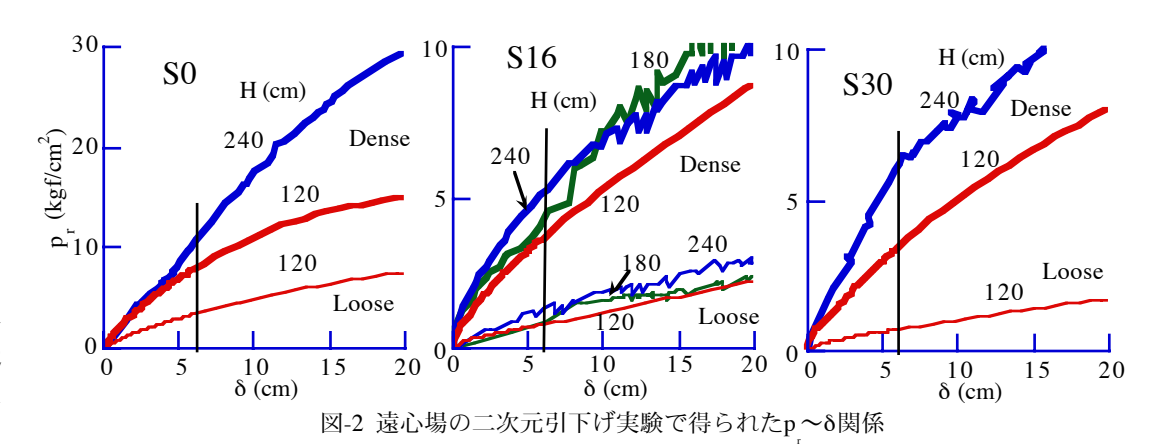
埋設管路の提案設計法で用いるばね定数と土圧強度の決定法

大阪市立大学 正会員 東田 淳・非会員 佐野洋平 中央復建コンサルタンツ 正会員 八谷 誠

まえがき 別報ⁿでは埋設管路の三次元遠心実験の結果を提案設計法ⁿ(図-1)による予測と比べ、良好な近似を得た。本報では、提案設計法の入力定数である地盤ばね定数kと領域2の鉛直最大土圧p,,,,の決定方法を示す。

地盤材料 表-1に 二次元および三次 元遠心実験で用い た地盤材料の性質 を示す。地盤材料 のSはsandの頭く 字で、Sに続合す 薬、またDとLは 密詰め地盤をそれぞ れ表す。

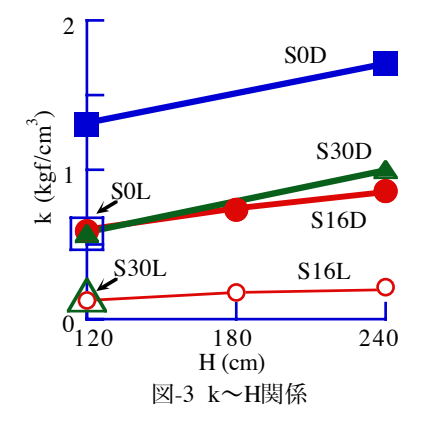
表-1 地盤材料の性質 $ho_{
m dmax}$ $ho_{
m dmin}$ c_d ϕ_d G_s Soi U_c (g/cm^3) (g/cm^3) (g/cm³) (%) (kPa) () S0L 37 1.43 0 1.8 1.32 2.65 1.58 0 S₀D 43 0 1.55 S16L 9 38 1.50 2.71 1.92 1.37 70 10 1.70 23 38 S16D S30L 1.50 32 2.67 115 1.86 1.18 12 S30D 32

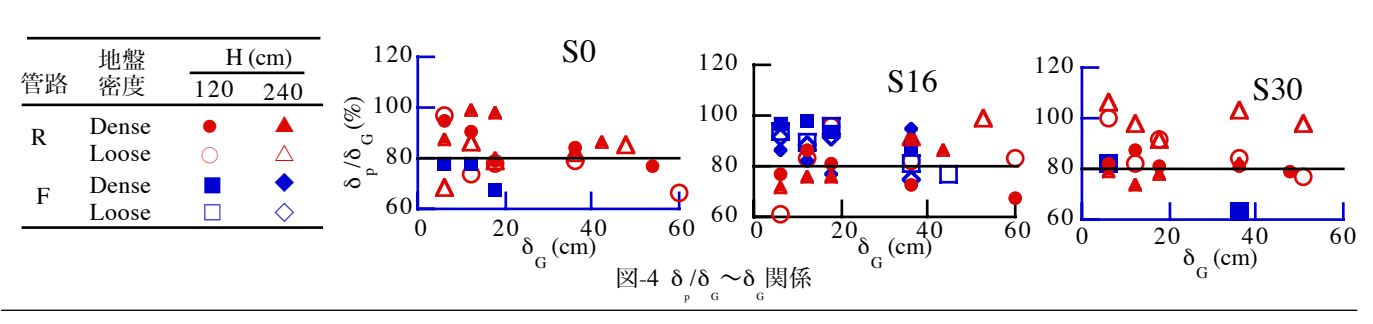


地盤ばね定数kの決定方法図-2は、剛な模型管路(原型外径D=60cm)

を用いた二次元引下げ遠心実験で得た反力土圧 p_r と引下げ量 δ の関係である。 p_r からは管路の自重を差引いてある。土被り高Hが120cmの δ 本の曲線はModeling of modelsによって相似則成立を確かめている。図-3は、図-2の曲線においてほぼ弾性限界に相当する δ =0.1D= δ cm時点の曲線勾配から求めた地盤のばね定数kとHの関係である。Hが増えるとkは増大するが、その程度は小さく、文献3)の感度分析の結果から見てHの違いによるkの変化が提案モデルの計算結果に及ぼす影響は無視できる。

領域2の鉛直最大土圧p_{vmax}の決定方法 三次元遠心実験の結果によれば、 地盤の沈下量 δ_c >管路の沈下量 δ_c となる領域2において、管路の上半分に働く





キーワード: 埋設管、不同沈下、遠心模型実験、設計 連絡先: 大阪市住吉区杉本3-3-138・大阪市立大学工学部・Tel & Fax: 06-6605-2725 土圧p、は領域の中央で最大値p、maxを持つ放物線分布で近似でき、また管路の下半分に働く反力土圧はゼロとなる。

図-4は、 p_{vmax} を生じた位置の δ_p/δ_G の値を δ_G に対している。データにばらつきはあるが、地盤件、 δ_G 、H、管路剛性(R管路、F管路)に関わらず、 $\delta_p/\delta_G \stackrel{.}{=} 0.8$ と近似きる。

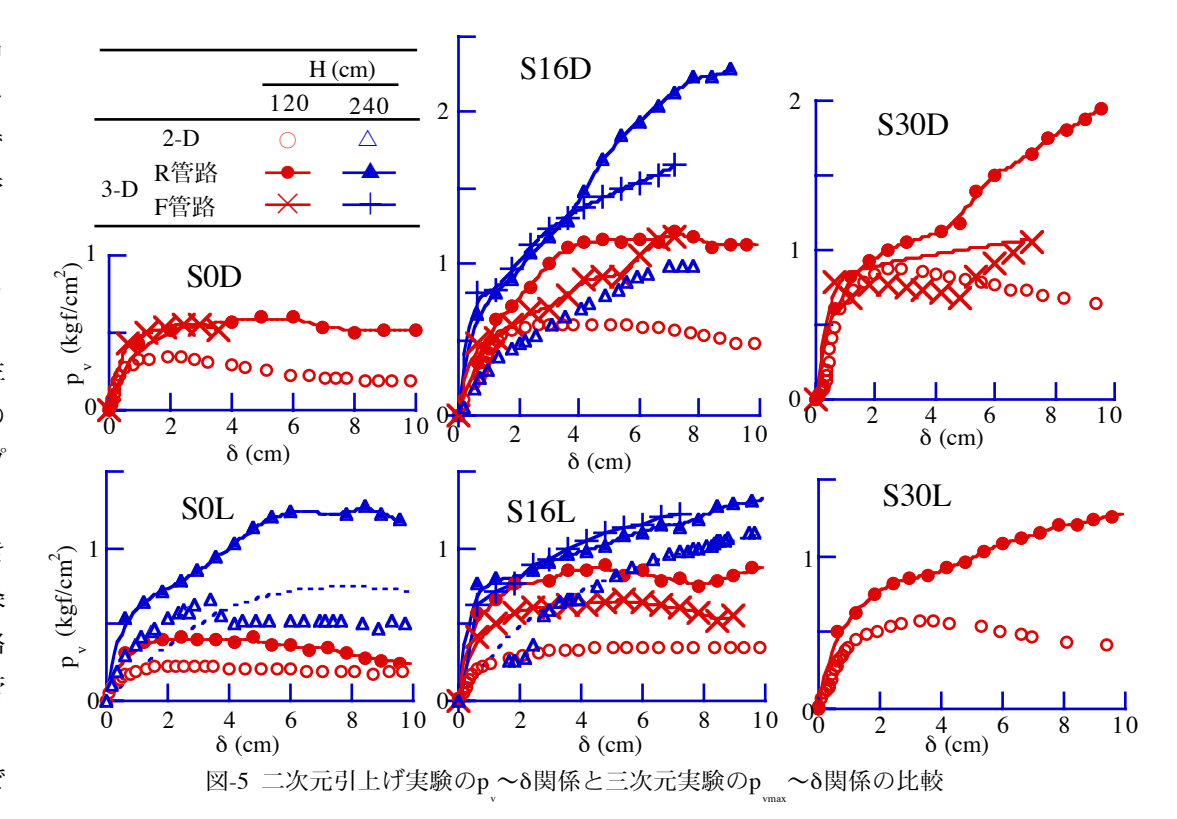


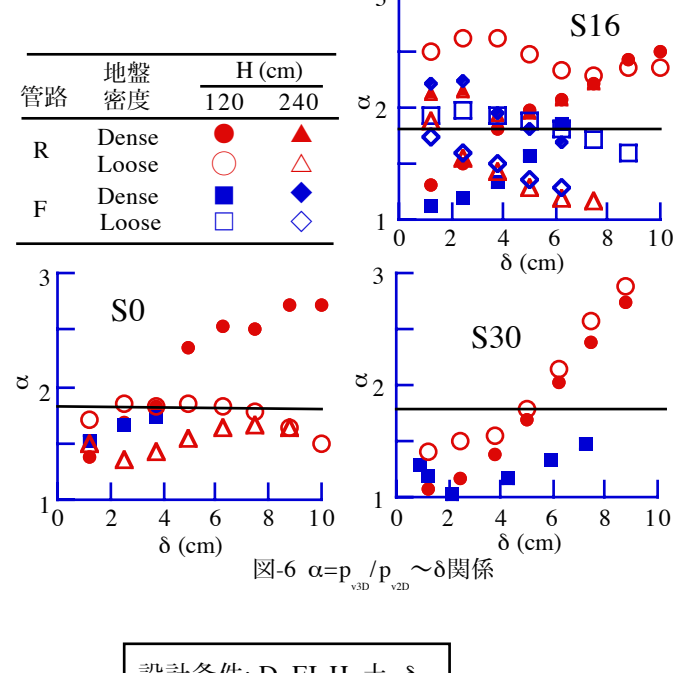
図-5は、剛な模型管路(原型外径60cm)を用いた二次元引上げ遠心実験で得られた鉛直土圧 p_{v2D} ~引上げ量 δ の関係、ならびに三次元実験で測定した p_{vmax} = p_{v3D} と p_{vmax} を生じた位置における地盤と管路の相対沈下量 δ = δ_{G} - δ_{p} = $0.2\delta_{G}$ の関係を示している。引上げ実験の δ H= δ 120cmの δ 6曲線は相似則の成立を確かめている。

図-6は、図-5の曲線から求めた同一 δ における p_{v3D}/p_{v2D} = α を δ に対してプロットしている。 α は三次元 効果による土圧集中係数とみなされる。データにかなりばらつきはあるが、全てのデータの平均値として α =1.8(実線)が得られる。

提案設計法のフローチャート 以上に述べた地盤のばね定数kと領域2の最大鉛直土 Ep_{vmax} の決定方法を図-7に提案設計法のフローチャートとして示す。このチャートでは、実験データのばらつきを考慮して、 α =2を推奨値として採用している。

参考文献

1)八谷他、不同沈下地盤に埋設される管路の力学挙動(提案設計法と遠心実験の比較)、58回土木学会年講、2003.2)東田他、不同沈下地盤に埋設される管路の力学挙動(実用設計法の提案)、57回土木学会年講,2002.3)八谷他、埋設管路の提案設計法の特性と適用範囲、37回地盤工学研究発表会、2003.



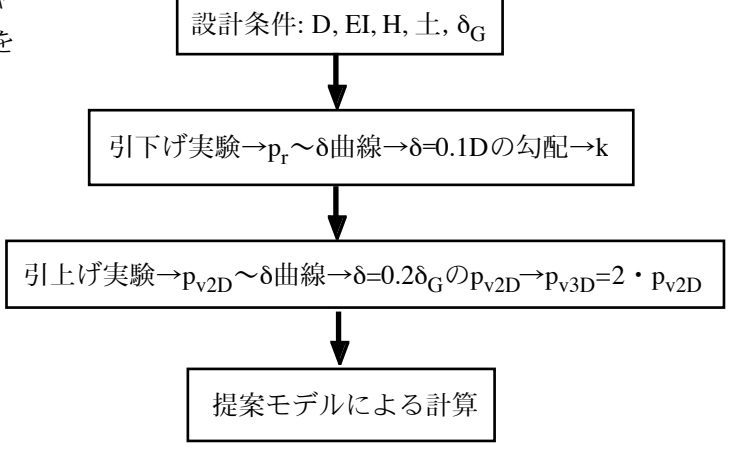


図-7 提案設計法のフローチャート